

บทที่ 3 ผลการวิจัยและข้อวิจารณ์

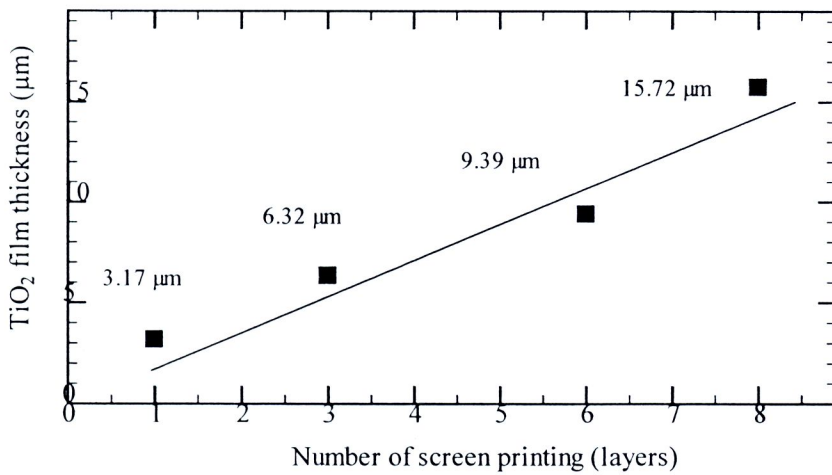
ผลการทดลองของกระบวนการสร้างเซลล์แสงอาทิตย์ชนิดสีย้อมไว้แสงโดยเทคนิคการพิมพ์สกรีน ถูกแบ่งออกเป็น 4 ผลการทดลอง แต่ละผลการทดลองได้ศึกษาตัวแปรที่สำคัญที่มีอิทธิพลต่อการเพิ่มประสิทธิภาพของเซลล์แสงอาทิตย์ เพื่อให้เซลล์แสงอาทิตย์มีประสิทธิภาพสูงที่สุดเท่าที่จะเป็นไปได้ โดยการทดลองที่ 1 และ 2 ได้ศึกษาความหนาของฟิล์มไทเทเนียมได้อกไซด์ที่ได้จากแหล่งผลิตต่างกัน การทดลองที่ 3 และ 4 ได้ศึกษาความเข้มข้นของสีย้อมไว้แสงและอุณหภูมิของการอบฟิล์มไทเทเนียมได้ ออกไซด์ ที่เหมาะสมต่อการเพิ่มประสิทธิภาพของเซลล์แสงอาทิตย์

3.1 การศึกษาผลกระทบความหนาของฟิล์มไทเทเนียมได้อกไซด์ต่อการเพิ่มประสิทธิภาพของเซลล์แสงอาทิตย์ โดยใช้ไทเทเนียมได้อกไซด์โซล-เจล จาก NECTEC

เนื่องจากความหนาของฟิล์มไทเทเนียมได้อกไซด์มีผลต่อการเพิ่มประสิทธิภาพของเซลล์ แสงอาทิตย์ ดังนั้นการทดลองนี้จึงได้ศึกษาความหนาของฟิล์มไทเทเนียมได้อกไซด์โดยการพิมพ์สกรีน ไทเทเนียมได้อกไซด์ (1-10) ชั้น และนำผลที่ได้ไปวัดวิเคราะห์ความหนาของฟิล์ม ประสิทธิภาพของ เซลล์แสงอาทิตย์ และ พื้นผิวของฟิล์มบาง อย่างไรก็ตามในการทดลองที่ 1 ได้ใช้สารเคมีสำเร็จรูปพร้อม ใช้งานจาก NECTEC

3.1.1 ความหนาของฟิล์มไทเทเนียมได้อกไซด์

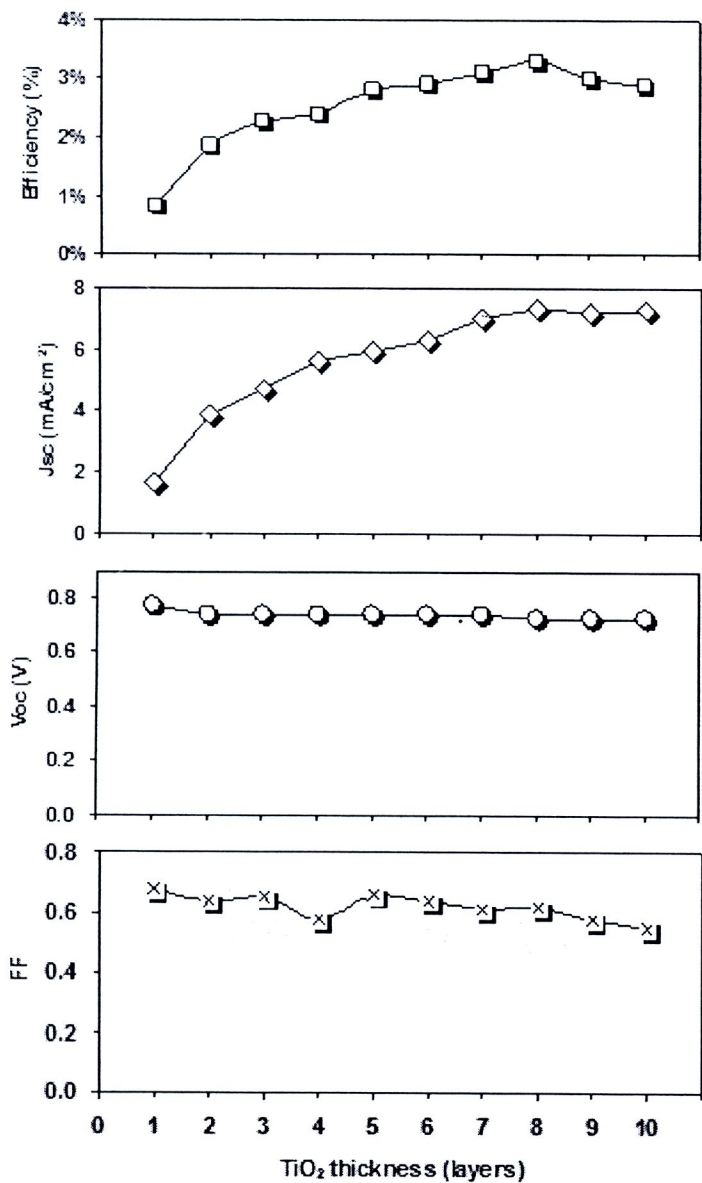
รูปที่ 3.1 แสดงความสัมพันธ์ระหว่างความหนา กับจำนวนชั้นฟิล์มไทเทเนียมได้อกไซด์ที่ได้จากการ พิมพ์สกรีนโดยใช้เครื่อง Step profile ในการวัดความหนาของฟิล์ม โดยนำตัวอย่างชิ้นงานที่ สกรีนฟิล์มไทเทเนียมได้อกไซด์จำนวน 1 ชั้น 3 ชั้น 6 ชั้น และ 8 ชั้นไปวัดความหนาของฟิล์ม ไทเทเนียมได้อกไซด์ ซึ่งผลที่ได้คือ $3.17 \mu\text{m}$, $6.32 \mu\text{m}$, $9.39 \mu\text{m}$ และ $15.72 \mu\text{m}$ ตามลำดับ ผล การทดลองนี้แสดงให้เห็นว่า ความหนาของฟิล์มไทเทเนียมได้อกไซด์มีความสัมพันธ์ค่อนข้างเป็นเชิง เสน่ห์กับจำนวนการพิมพ์สกรีนฟิล์มไทเทเนียมได้อกไซด์ เมื่อจำนวนครั้งการพิมพ์สกรีนเพิ่มมากขึ้น ความหนาของฟิล์มบาง ไทเทเนียมได้อกไซด์ ก็จะเพิ่มขึ้น เช่นกัน ซึ่งสอดคล้องกับรายงานก่อนหน้านี้ [1]



รูปที่ 3.1 ความสัมพันธ์ระหว่างความหนา กับจำนวนชั้นฟิล์มไทเทเนียมได้ออกไซด์ (TiO_2 sol-gel จาก NECTEC)

3.1.2 ประสิทธิภาพของเซลล์แสงอาทิตย์

จากรูปที่ 3.2 (ก) เป็นความสัมพันธ์ระหว่างประสิทธิภาพของเซลล์แสงอาทิตย์และความหนาของไทเทเนียมได้ออกไซด์ เมื่อจำนวนชั้นฟิล์มไทเทเนียมได้ออกไซด์เพิ่มขึ้นประสิทธิภาพก็จะเพิ่มสูงขึ้นตามลำดับ นอกจากนี้แล้ว ยังพบว่าประสิทธิภาพ (E_{ff}) สูงสุดที่ได้คือ 3.28% ที่ความหนาของไทเทเนียมได้ออกไซด์ที่ 8 ชั้น (ตารางที่ 3.1) อย่างไรก็ตามประสิทธิภาพจะเริ่มลดลงในชั้นที่ 9 และ 10 ตามลำดับ จากรูปที่ 3.2 (ข) กระแสลัดวงจรเพิ่มมากขึ้นตามจำนวนชั้นฟิล์มไทเทเนียมได้ออกไซด์ อันเนื่องมาจากการเพิ่มขึ้นของพื้นที่ผิวของฟิล์มไทเทเนียมได้ออกไซด์ ดังนั้นจึงทำให้มีเลกุลของสีย้อมไว้แสงไปยึดเกาะกับอนุภาคของนาโนไทเทเนียมได้ออกไซด์ได้เพิ่มมากขึ้น [2] การดูดกลืนแสงของโมเลกุลสีย้อมไว้แสงจึงมากขึ้นก็สามารถเกิดอิเล็กตรอนได้เพิ่มมากขึ้นตามลำดับ จากตารางที่ 3.1 กระแสลัดวงจร (J_{sc}) ที่ทำได้สูงที่สุดคือ 7.31 mA/cm^2 ที่ฟิล์มไทเทเนียมได้ออกไซด์ 8 ชั้น และลดลงในชั้นที่ 9 และ 10 เพราะว่าเกิดการรวมตัว (recombination) อิเล็กตรอน (e^-) กับโฮล (h^+) ในฟิล์มไทเทเนียมได้ออกไซด์ [2] เมื่อความหนาของฟิล์มไทเทเนียมได้ออกไซด์เพิ่มขึ้นระยะเวลาในการเดินทางของอิเล็กตรอนจากอนุภาค nano ของไทเทเนียมได้ออกไซด์มายังกระจากขั้นนำไฟฟ้าไปร่องแสงก็จะมากขึ้นด้วย ดังนั้นโอกาสที่อิเล็กตรอนจะรวมตัวกับโฮลก็จะมีปริมาณที่มากขึ้นตามลำดับ ส่งผลให้อิเล็กตรอนเดินทางมายังกระจากขั้นนำไฟฟ้าไปร่องแสงมีปริมาณลดลง ทำให้กระแสลัดวงจรและประสิทธิภาพของเซลล์ลดลงด้วยเช่นกัน จากรูปที่ 3.2 (ค) แรงดันวงจรเปิดมีการเปลี่ยนของระดับแรงดันค่อนข้างลดลงเมื่อจำนวนชั้นฟิล์มไทเทเนียมได้ออกไซด์เพิ่มมากขึ้น ทั้งนี้น่าจะเกิดจากความต้านทานของฟิล์มเพิ่มขึ้นเมื่อฟิล์มไทเทเนียมได้ออกไซด์หนามากขึ้น



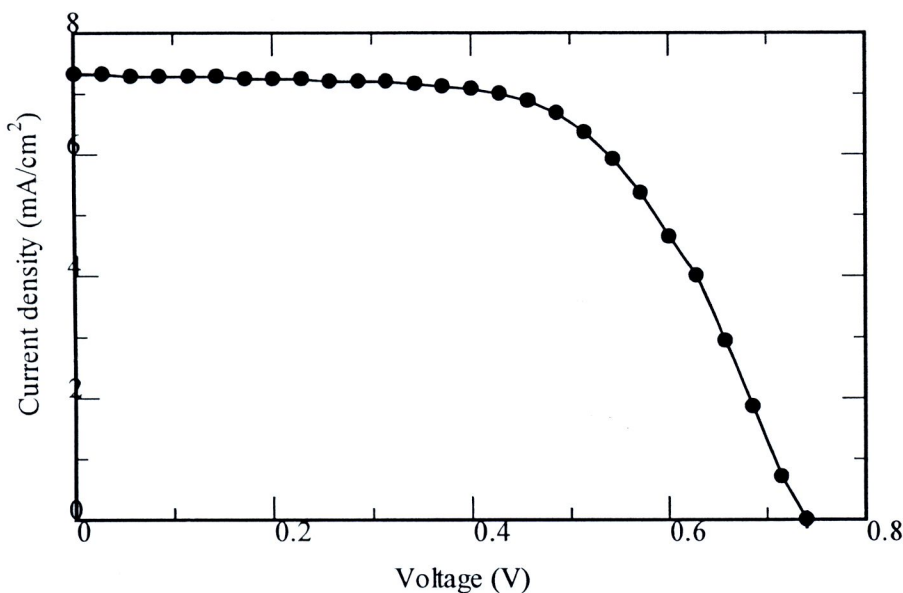
รูปที่ 3.2 ผลการวัดประสิทธิภาพของเซลล์แสงอาทิตย์ (TiO_2 sol-gel จาก NECTEC) (η)
ประสิทธิภาพ (Efficiency) (η) กระแสแลดูดงจ (J_{sc}) (ค) แรงดันวงจรเปิด (V_{oc}) และ
(ง) พิล์ส์เฟกเตอร์ (FF)

นอกจากนี้ ค่าพิล์ส์เฟกเตอร์มีการเปลี่ยนแปลงค่อนข้างลดลง เช่น กันเมื่อจำนวนชั้นพิล์มไทด์เนียมไดออกไซด์เพิ่มมากขึ้น (รูปที่ 3.2 (ง)) ทั้งนี้เกิดจากความต้านทานของพิล์มไทด์เนียมไดออกไซด์ที่หนามากขึ้น ซึ่งผลของพารามิเตอร์ต่างๆจากการทดลองที่ผ่านมา มีความสอดคล้องกับงานวิจัยที่ได้ตีพิมพ์ไปแล้วก่อนหน้านี้ [1-3]

จากการทดลองพบว่า ประสิทธิภาพ (Eff) สูงสุดของเซลล์ที่ได้เท่ากับ 3.28% กระแสตัวกลาง (J_{sc}) เท่ากับ 7.31 mA/cm^2 แรงดันวงจรเปิด (V_{oc}) เท่ากับ 0.73V และค่าไฟล์แฟกเตอร์ (FF) เท่ากับ 0.61 บนพื้นที่เซลล์ 0.25 cm^2 ที่ความหนาของฟิล์มไทด์เนียมไดออกไซด์ $15.72 \mu\text{m}$ (รูปที่ 3.3)

ตารางที่ 3.1 เปรียบเทียบพารามิเตอร์ต่างๆของเซลล์แสงอาทิตย์ (TiO_2 sol-gel; NECTEC)

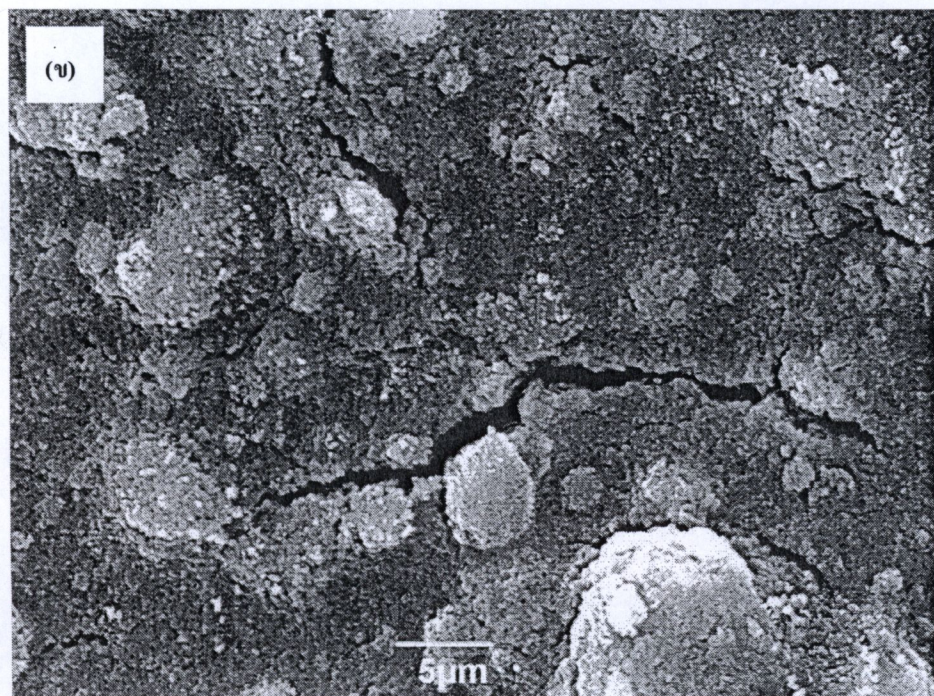
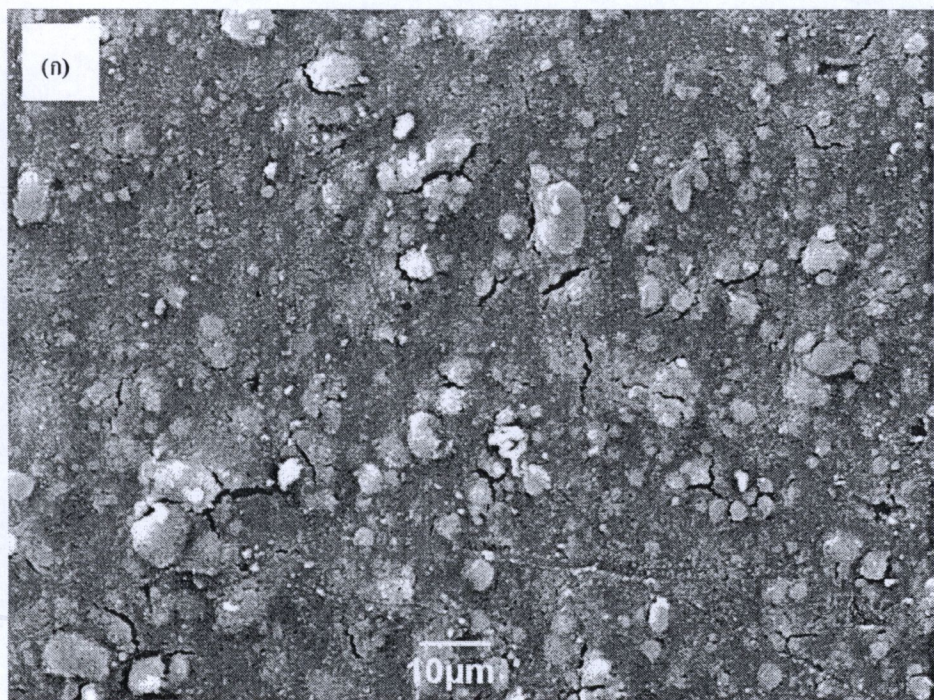
TiO_2 thickness (layers)	V_{oc} (v)	FF	J_{sc} (mA/cm^2)	Eff (%)
1	0.77	0.67	1.62	0.85
2	0.74	0.63	3.89	1.84
3	0.74	0.65	4.75	2.26
4	0.74	0.57	5.61	2.41
5	0.74	0.65	5.94	2.82
6	0.74	0.64	6.29	2.91
7	0.74	0.61	7.01	3.11
8	0.73	0.61	7.31	3.28
9	0.72	0.57	7.23	3.01
10	0.72	0.55	7.25	2.89



รูปที่ 3.3 คุณสมบัติกระแสและแรงดันของเซลล์แสงอาทิตย์ (TiO_2 sol-gel จาก NECTEC)

3.1.3 ภาพถ่ายพื้นผิวพิล์มไทด์เนียมไดออกไซด์

เมื่อนำพิล์มบางไทด์เนียมไดออกไซด์ที่ได้จากเทคนิคการพิมพ์สกรีน อบท่ออุณหภูมิ 100°C เป็นเวลา 30 นาที และเผาต่อท่ออุณหภูมิ 450°C เป็นเวลา 30 นาที บนฐานรองกระจากนำไฟฟ้าไปร่องแสงมาศึกษาสภาพพื้นผิวของพิล์มบางด้วยภาพถ่ายจาก SEM จากรูปที่ 3.4 ทั้ง (ก) และ (ข) พบร่วมพื้นผิวของพิล์มไทด์เนียมไดออกไซด์ของ NECTEC พบร่วมรอยแตกร้าวของพิล์มเกิดขึ้น ซึ่งเกิดจากสัมประสิทธิ์การขยายตัวของกระจากขั้นนำไฟฟ้าไปร่องแสงกับพิล์มบางไทด์เนียมไดออกไซด์ไม่เท่ากันเมื่อทำการเผาท่ออุณหภูมิสูง ปัญหาดังกล่าวทำให้การเกาะเกี่ยวกันของอนุภาคนาโนไทด์เนียมไดออกไซด์ขาดความต่อเนื่อง ดังนั้นจึงส่งผลต่อการเดินทางของอิเล็กตรอนจากไทด์เนียมไดออกไซด์ไปยังขั้วไฟฟ้าได้ยากขึ้น ทำให้ปริมาณกระแสลดลง นอกจากนี้แล้วยังเกิดการกระชากตัวของอนุภาคนาโนไทด์เนียมไดออกไซด์เป็นก้อนๆ การกระจายตัวไม่สม่ำเสมอ ปัญหาดังกล่าวจะทำให้ออนุภาคนาโนไทด์เนียมไดออกไซด์ดูดซับโมเลกุลของสีย้อมไว้แสงได้น้อยลง ดังนั้นประสิทธิภาพ (Eff) เซลล์แสงอาทิตย์จึงค่อนข้างต่ำ

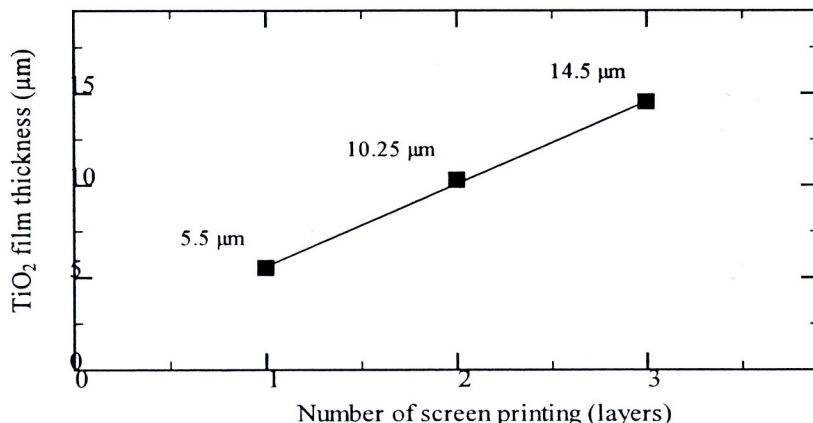


รูปที่ 3.4 ภาพถ่ายพื้นผิวฟิล์มบางไฟฟานียมไดออกไซด์ความหนา $15.72 \mu\text{m}$ จาก NECTEC
(ก) ที่อัตราการขยาย 1,000 เท่า (ข) ที่อัตราการขยาย 2,500 เท่า

3.2 การศึกษาผลกระทบความหนาของฟิล์มไทเทเนียมไดออกไซด์ต่อการเพิ่มประสิทธิภาพของเซลล์แสงอาทิตย์ โดยใช้ไทเทเนียมไดออกไซด์โซล-เจล จาก Solaronix

ในการทดลองที่ 2 มีความเหมือนกับการทดลองที่ 1 แต่ได้เปลี่ยนวัสดุในการทดลองจากไทเทเนียมไดออกไซด์โซล-เจล จาก NECTEC เป็นมาใช้จากบริษัท Solaronix ทั้งนี้เพื่อต้องการทราบความหนาของฟิล์มไทเทเนียมไดออกไซด์ ประสิทธิภาพของเซลล์แสงอาทิตย์ และพื้นผิวของฟิล์มบาง โดยความหนาของฟิล์มที่เหมาะสมคือ (1-3) ชั้น นอกจากรูปที่ 2 ที่แสดงถึงความหนาของฟิล์มที่ได้จากการทดสอบโดยการวัดความหนาของฟิล์มที่ได้จากการพิมพ์สกรีนโดยนำตัวอย่างชิ้นงานที่สกรีนฟิล์มไทเทเนียมไดออกไซด์จำนวน 1 ชั้น 2 ชั้น และ 3 ชั้นไปทำการวัดความหนาของฟิล์มไทเทเนียมไดออกไซด์ ผลที่ได้คือ $5.5 \mu\text{m}$, $10.25 \mu\text{m}$ และ $14.5 \mu\text{m}$ ตามลำดับ ดังจะเห็นได้ว่าความหนาของฟิล์มไทเทเนียมไดออกไซด์จากบริษัท Solaronix มีความสัมพันธ์ค่อนข้างเป็นเชิงเส้นกับจำนวนการพิมพ์สกรีน เช่นเดียวกับไทเทเนียมไดออกไซด์ที่ได้จากการพิมพ์สกรีนโดย NECTEC ซึ่งสอดคล้องกับรายงานก่อนหน้านี้ [1]

อย่างไรก็ตามผลจากการวัดความหนาทำให้ทราบว่าการสกรีนแต่ละครั้งของไทเทเนียมไดออกไซด์ทั้ง 2 มีความหนาของฟิล์มที่ไม่เท่ากัน และคงให้เห็นว่าไทเทเนียมไดออกไซด์ที่ได้จาก NECTEC มีความเข้มข้นของไทเทเนียมไดออกไซด์ต่ำจึงจำเป็นต้องสกรีนหลายครั้งถึงจะได้ความหนาที่ต้องการ ในขณะที่ไทเทเนียมไดออกไซด์จากบริษัท Solaronix มีความเข้มข้นสูงมากสกรีนไม่กี่ครั้งก็ได้ความหนาตามที่ต้องการ

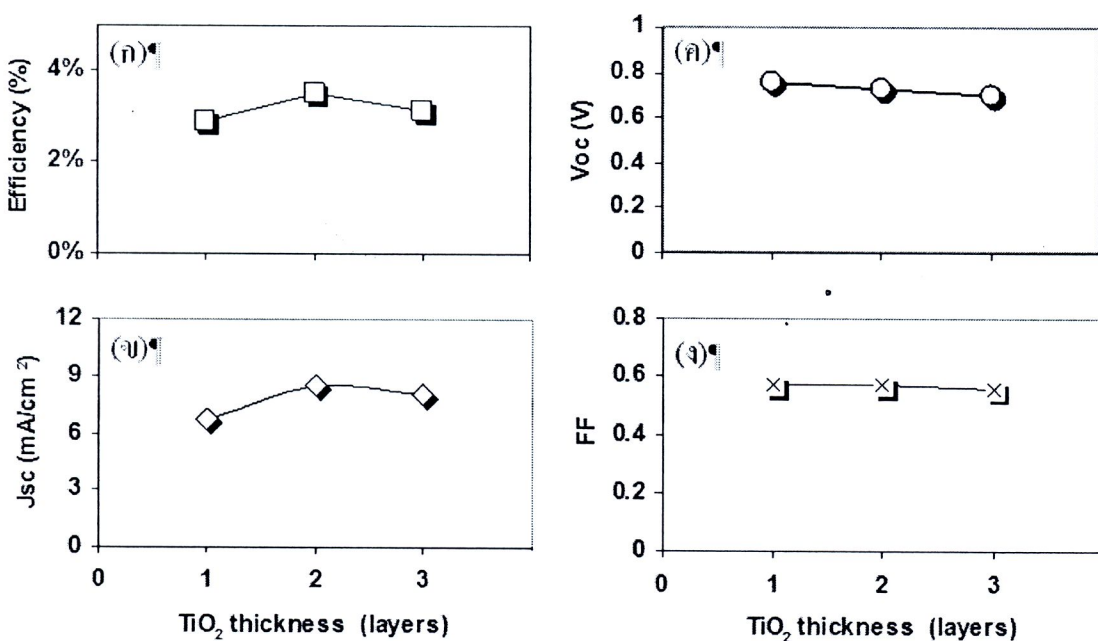


รูปที่ 3.5 ความล้มเหลวระหว่างความหนา กับ จำนวนชั้นฟิล์มไทเทเนียมไดออกไซด์ (TiO_2 sol-gel จากบริษัท Solaronix)

3.2.2 ประสิทธิภาพของเซลล์แสงอาทิตย์

จากความสัมพันธ์ระหว่างประสิทธิภาพของเซลล์แสงอาทิตย์และความหนาของไทเทเนียมไดออกไซด์ในรูปที่ 3.6 (ก) พบว่าประสิทธิภาพ (Eff) สูงสุดที่ได้คือ 3.52% ที่ความหนาของไทเทเนียมไดออกไซด์ที่ 2 ชั้น (ตารางที่ 3.2) อย่างไรก็ตาม ประสิทธิภาพลดลงในชั้นที่ 3 จากรูปที่ 3.6 (ข) กระแสน้ำจะเพิ่มมากขึ้นตามจำนวนชั้นฟิล์มไทเทเนียมไดออกไซด์ อันเนื่องมาจากมีการเพิ่มขึ้นของพื้นที่ผิวของฟิล์มไทเทเนียมไดออกไซด์ ดังนั้นจึงทำให้มีเล็กน้อยของสีเหลืองไว้แสงไปยังเคเบิลกับบอร์ดของนาโนไทเทเนียมไดออกไซด์ได้เพิ่มมากขึ้นก็สามารถเกิดอิเล็กตรอนได้เพิ่มมากขึ้นตามลำดับ

ตารางที่ 3.2 กระแสแลดูดวงจร (J_{SC}) ที่ทำได้สูงที่สุดคือ 8.53 mA/cm^2 ที่ฟิล์มไทเทเนียมไดออกไซด์ 2 ชั้น และลดลงในชั้นที่ 3 เพราะว่าเกิดการรวมตัว (recombination) อิเล็กตรอน (e^-) กับโฮล (h^+) ในฟิล์มไทเทเนียมไดออกไซด์ จากรูปที่ 3.6 (ค) แรงดันวงจรเปิดมีการเปลี่ยนของระดับแรงดันค่อนข้างลดลง เมื่อจำนวนชั้นฟิล์มไทเทเนียมไดออกไซด์เพิ่มมากขึ้นทั้งนี้อาจเกิดจากความต้านทานของฟิล์มหนามากขึ้น จากรูปที่ 3.6 (ง) ค่าฟิล์มเฟกเตอร์มีการเปลี่ยนแปลงค่อนข้างลดลง ทั้งนี้อาจเกิดจากความต้านทานของฟิล์มไทเทเนียมไดออกไซด์ที่หนามากขึ้น [1-3]



รูปที่ 3.6 ผลการวัดประสิทธิภาพของเซลล์แสงอาทิตย์ (TiO_2 sol-gel จากบริษัท Solaronix)
(ก) ประสิทธิภาพ (Efficiency) (ข) กระแสแลดูดวงจร (J_{SC}) (ค) แรงดันวงจรเปิด (V_{OC}) และ
(ง) ฟิล์มเฟกเตอร์ (FF)

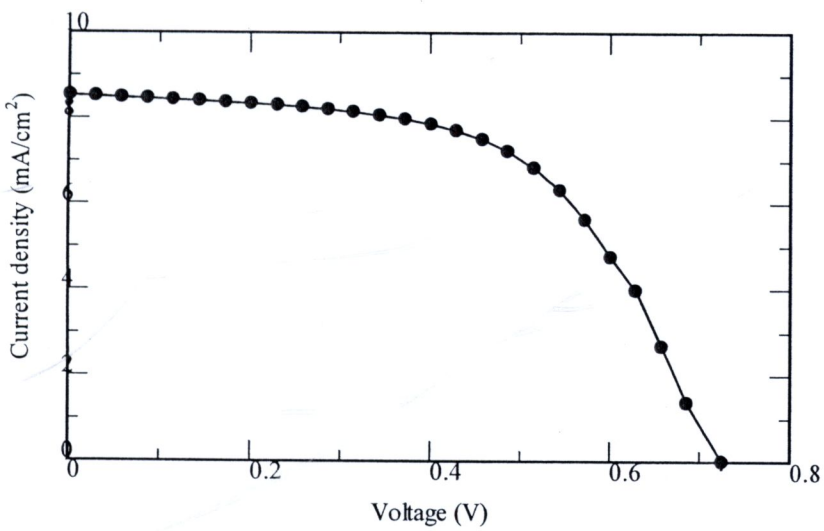
ตารางที่ 3.2 เปรียบเทียบพารามิเตอร์ต่างๆของเซลล์แสงอาทิตย์ (TiO_2 sol-gel; Solaronix)

TiO_2 thickness (layers)	Voc (V)	FF	Jsc (mA/cm ²)	Eff (%)
1	0.75	0.57	6.72	2.91
2	0.72	0.56	8.53	3.52
3	0.70	0.55	8.05	3.13

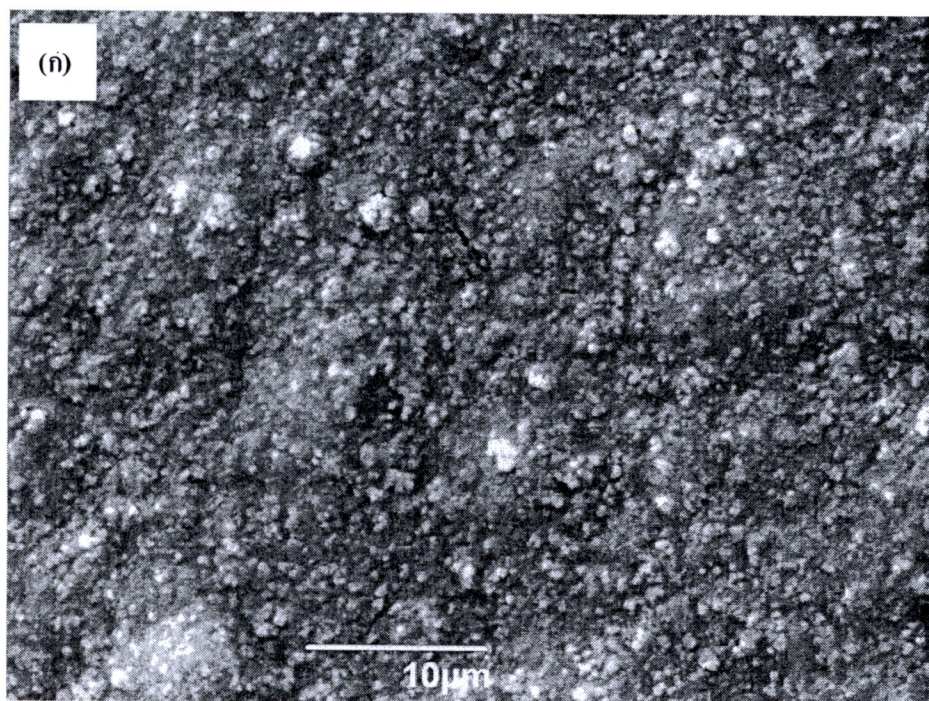
นอกจากนี้ จากรูปที่ 3.7 พบร่วมประสิทธิภาพ (Eff) สูงสุดของเซลล์ที่ได้เท่ากับ 3.52% กระแสลัดวงจร (Jsc) เท่ากับ 8.53 mA/cm² แรงดันวงจรเปิด (Voc) เท่ากับ 0.72V และค่าฟีล์ดเฟกเตอร์ (FF) เท่ากับ 0.61 บนพื้นที่เซลล์ 0.25 cm² ที่ความหนาของฟิล์มไทเทเนียมได้ออกไซด์ 10.25 μm

3.2.3 ภาพถ่ายพื้นผิวฟิล์มไทเทเนียมได้ออกไซด์

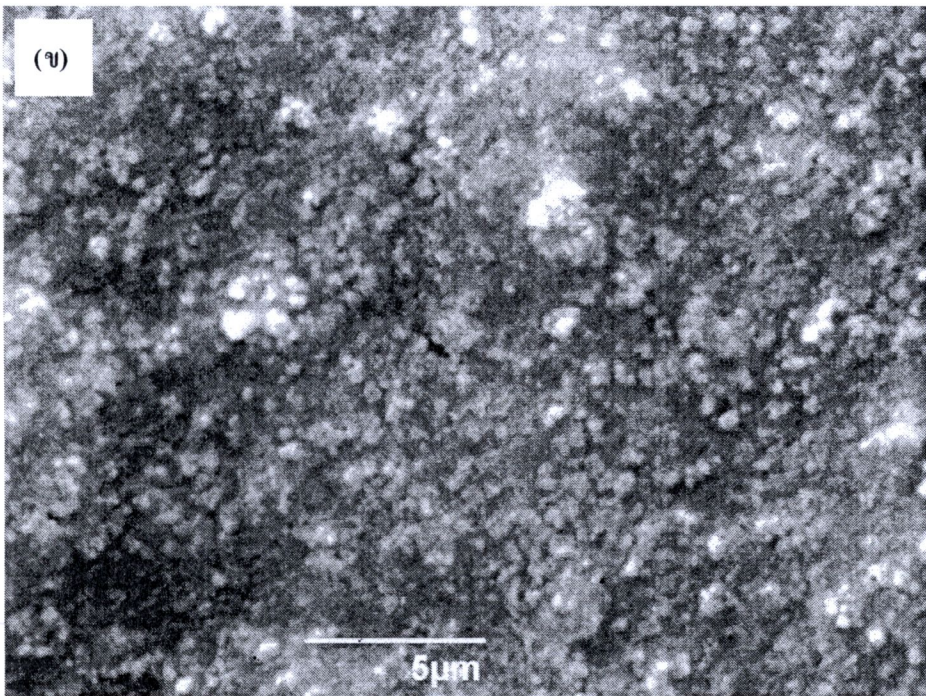
เมื่อนำฟิล์มบางไทเทเนียมได้ออกไซด์ที่ได้จากเทคนิคการพิมพ์สกรีน อบที่อุณหภูมิ 100°C เป็นเวลา 30 นาที และเผาต่อที่อุณหภูมิ 450°C เป็นเวลา 30 นาที บนฐานรองกระจากนำไฟฟ้าไปร่องแสงมาศึกษาสภาพพื้นผิวของฟิล์มบางด้วยภาพถ่ายจาก SEM จากรูปที่ 3.8 ทั้ง (ก) และ (ข) พบร่วมพื้นผิวของฟิล์มไทเทเนียมได้ออกไซด์ของบริษัท Solaronix ยังมีทั้งรอยแตกร้าวของฟิล์ม และยังเกิดการกระจุกตัวของอนุภาคนาโนไทเทเนียมได้ออกไซด์เป็นก้อนๆกระจายตัวไม่สม่ำเสมอ อย่างไรก็ตามเมื่อเทียบกับผลการทดลองก่อนหน้านี้ พบร่วมทั้งรอยแตกร้าวของฟิล์มและการกระจุกตัวของอนุภาคนาโนไทเทเนียมได้ออกไซด์มีแนวโน้มลดลงอย่างเห็นได้ชัด นั้นหมายความว่าอนุภาคนาโนไทเทเนียมได้ออกไซด์จะเกี่ยว กันอย่างต่อเนื่องไม่เกิดช่องว่างและสามารถที่จะดูดซับโนเลกุลของสีย้อมไว้แสงได้เพิ่มมากขึ้น ส่งผลให้ การเดินทางของอิเล็กตรอนในฟิล์มไทเทเนียมได้ออกไซด์มีความต่อเนื่องขึ้น ประสิทธิภาพของเซลล์ แสงอาทิตย์จึงเพิ่มสูงขึ้นเป็น 3.52%



รูปที่ 3.7 คุณสมบัติการกระแสและแรงดันของเซลล์แสงอาทิตย์ (TiO_2 sol-gel จาก Solaronix)



รูปที่ 3.8 (หน้าด้านไป)



รูปที่ 3.8 ภาพถ่ายพื้นผิวฟิล์มบางไทเทเนียมไดออกไซด์ความหนา $10.25 \mu\text{m}$ จาก Solaronix
 (ก) ที่อัตราการขยาย 1,000 เท่า (ข) ที่อัตราการขยาย 2,500 เท่า

3.3 การศึกษาความเข้มข้นสีเย้อมไวแสง (N719) ซึ่งผสมด้วยตัวทำละลาย เอทานอลที่ความเข้มข้นน้อย (1:5) และความเข้มข้นมาก (1:1) ที่เหมาะสมต่อการเพิ่มประสิทธิภาพของเซลล์แสงอาทิตย์

การทดลองที่ 3 ได้นำผลจากการทดลองก่อนหน้านี้มาใช้คือใช้ความหนาของฟิล์มไทเทเนียมไดออกไซด์ 2 ชั้น จากบริษัท Solaronix โดยการทดลองนี้ได้ศึกษาความเข้มข้น Dye ชนิด (N719) ซึ่งผสมด้วยตัวทำละลายเอทานอลที่ความเข้มข้นน้อย (1:5) และความเข้มข้นมาก (1:1) เพื่อต้องการทราบอัตราส่วนที่เหมาะสมต่อการเพิ่มประสิทธิภาพของเซลล์แสงอาทิตย์

3.3.1 ประสิทธิภาพของเซลล์แสงอาทิตย์

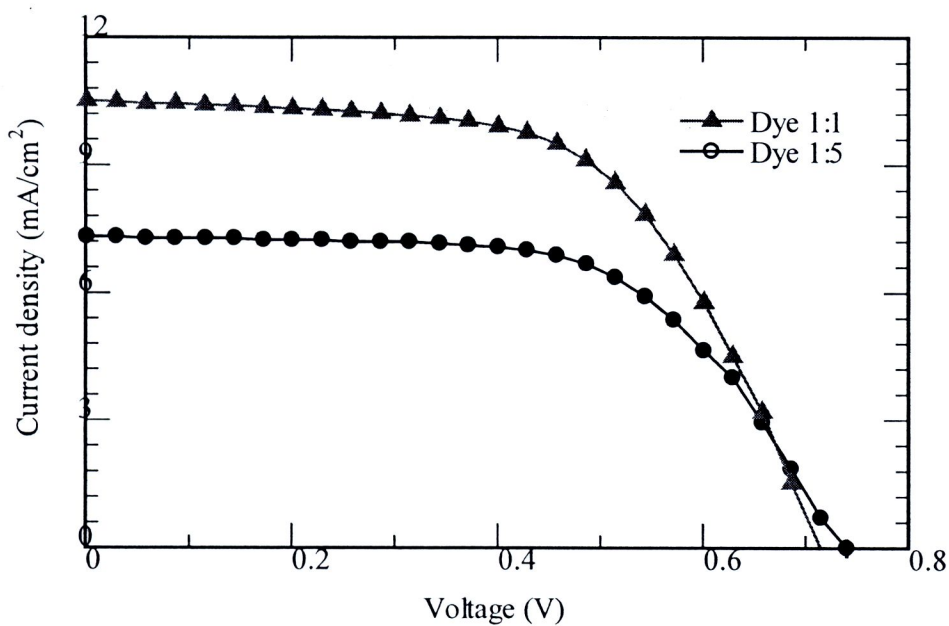
จากข้อมูลตารางที่ 3.3 เป็นความเข้มข้นของสีเย้อมไวแสงต่อตัวทำละลายเอทานอลที่อัตราส่วน (1:1) และ (1:5) โดยที่ความเข้มขันต่ำ (1:5) จะมีความหนาแน่นของสีเย้อมไวแสงน้อยทำให้โอกาสที่ไม่เกิดข้อห้ามไวแสงจะไปเกาะกับอนุภาคนาโนไทเทเนียมไดออกไซด์จึงน้อยลงไปด้วย ดังนั้นประสิทธิภาพที่ได้จึงไม่สูงมากนัก คือ 3.58% อย่างไรก็ตามเมื่อเปลี่ยนอัตราส่วนความเข้มข้นเป็น (1:1) นั้นคือจะมีความหนาแน่นของสีเย้อมไวแสงเพิ่มขึ้นทำให้โอกาสที่ไม่เกิดข้อห้ามไวแสงจะไปเกาะกับ

อนุภาคนาโนไทเทเนียมไดออกไซด์จึงมากขึ้น ประสิทธิภาพที่ได้จะเพิ่มสูงขึ้นเป็น 4.34%

จากรูปที่ 3.9 เป็นการเปรียบเทียบประสิทธิภาพของเซลล์แสงอาทิตย์ที่ความเข้มข้นสีย้อมไวแสงแตกต่างกัน พบว่าที่ความเข้มข้นสีย้อมไวแสง (1:1) มีประสิทธิภาพ (Eff) สูงสุดของเซลล์ที่ได้เท่ากับ 4.34 % กระแสแลดูวงจร (J_{SC}) เท่ากับ 10.2 mA/cm^2 แรงดันวงจรเปิด (V_{OC}) เท่ากับ 0.71 V และค่าฟีล์แฟกเตอร์ (FF) เท่ากับ 0.60 บนพื้นที่เซลล์ 0.25 cm^2 ที่ความหนาของฟิล์มไทเทเนียมไดออกไซด์ 10.25 μm

ตารางที่ 3.3 เปรียบเทียบพารามิเตอร์ต่างๆของเซลล์แสงอาทิตย์ (Dye 1:1, 1:5)

Dye concentration	TiO ₂ thickness (layers)	Voc (V)	FF	J_{SC} (mA/cm^2)	Eff (%)
1:1	2	0.71	0.60	10.2	4.34
1:5	2	0.72	0.56	8.53	3.52



รูปที่ 3.9 คุณสมบัติกระแสและแรงดันของเซลล์แสงอาทิตย์ที่ความแตกต่างความเข้มข้นของโมเลกุลสีย้อมไวแสง

3.4 ศึกษาอุณหภูมิที่เหมาะสมต่อการอบไฟเทเนียมไดออกไซด์โซล-เจล เพื่อลดความชื้นออกจากฟิล์ม ลดรอยแตกร้าวจากการเผาที่อุณหภูมิสูง

เนื่องจากฟิล์มที่ได้หลังจากการพิมพ์สกรีนแต่ละครั้งนั้นมีความชื้นค่อนข้างสูง ดังนั้นจึงจำเป็นอย่างยิ่งที่จะต้องศึกษาอุณหภูมิของการอบแต่ละครั้งหลังการพิมพ์สกรีนก่อนที่จะนำไปเผาที่อุณหภูมิสูงที่ 450°C เพื่อลดปัญหารอยแตกร้าวของฟิล์มที่จะเกิดขึ้นหลังจากการเผาโดยแบ่งเงื่อนไขการทดลองเป็น 2 เงื่อนไข

1.อบที่อุณหภูมิ 100°C หลังการพิมพ์สกรีนแต่ละครั้ง และหลังจากการพิมพ์สกรีนครั้งสุดท้ายแล้ว อบที่อุณหภูมิ 100°C เป็นเวลา 30 นาที ก่อนนำไปเผาที่อุณหภูมิสูง 450°C เป็นเวลา 30 นาที

2.อบที่อุณหภูมิ 100°C หลังการพิมพ์สกรีนแต่ละครั้ง และหลังจากการพิมพ์สกรีนครั้งสุดท้ายแล้ว อบที่อุณหภูมิ 125°C เป็นเวลา 30 นาที ก่อนนำไปเผาที่อุณหภูมิสูง 450°C เป็นเวลา 30 นาที

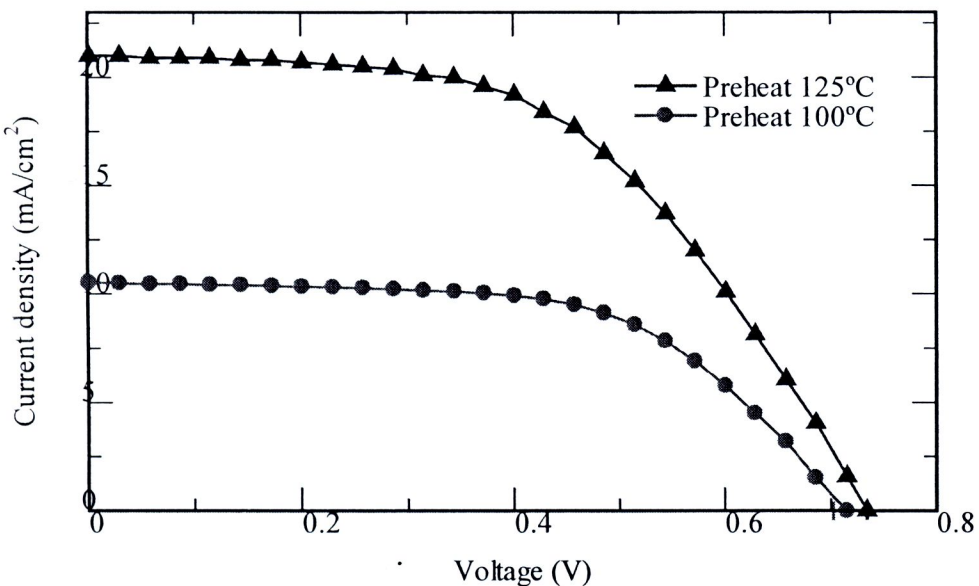
3.4.1 ประสิทธิภาพของเซลล์แสงอาทิตย์

จากการศึกษาอุณหภูมิของการอบฟิล์มที่ 100°C และ 125°C (ตารางที่ 3.4) พบว่า ประสิทธิภาพเพิ่มสูงขึ้นอย่างเป็นนัยสำคัญจาก 4.34% เป็น 8.09% อย่างไรก็ตามทางผู้วิจัยยังไม่ทราบแน่ชัดว่าเกิดขึ้นจากสาเหตุใด ดังนั้นได้ตั้งสมมุติฐานของการเพิ่มขึ้นของประสิทธิภาพว่า น่าจะเกิดจากการที่อบໄล์ความชื้นที่อุณหภูมิ 125°C เป็นเวลา 30 นาทีนั้นเปรียบได้กับการ annealed ฟิล์มไฟเทียมเนียมไดออกไซด์ นอกจากนี้แล้วผลจากการ annealed เข้าใจว่าเกิดการจัดเรียงตัวของอนุภาคนanoไฟเทียมไดออกไซด์ที่เป็นระเบียบและมีความต่อเนื่องเพิ่มขึ้น ดังนั้นการเดินทางของอิเล็กตรอนบนอนุภาคนanoไฟเทียมไดออกไซด์จึงมีค่าส่วนเคลื่อน (mobility) เพิ่มสูงขึ้นเป็นอย่างมาก จึงส่งผลให้กระแสลัดวงจร (J_{sc}) เพิ่มขึ้นจาก 10.2 mA/cm^2 เป็น 21 mA/cm^2

จากรูปที่ 3.10 ที่สภาวะของการอบฟิล์มไฟเทียมเนียมไดออกไซด์ที่อุณหภูมิ 125°C พบรการเพิ่มขึ้นของกระแสลัดวงจรได้ชัดเจน โดยพบว่า ประสิทธิภาพ (Eff) สูงสุดของเซลล์ที่ได้เท่ากับ 8.09 % กระแสลัดวงจร (J_{sc}) เท่ากับ 21 mA/cm^2 และดันวงจรเปิด (Voc) เท่ากับ 0.73 V และค่าฟิล์มแฟกเตอร์ (FF) เท่ากับ 0.52 บนพื้นที่เซลล์ 0.25 cm^2 ที่ความหนาของฟิล์มไฟเทียมไดออกไซด์ $10.25 \mu\text{m}$

ตารางที่ 3.4 เปรียบเทียบพารามิเตอร์ต่างๆของเซลล์แสงอาทิตย์ (Preheat 100°C , 125°C)

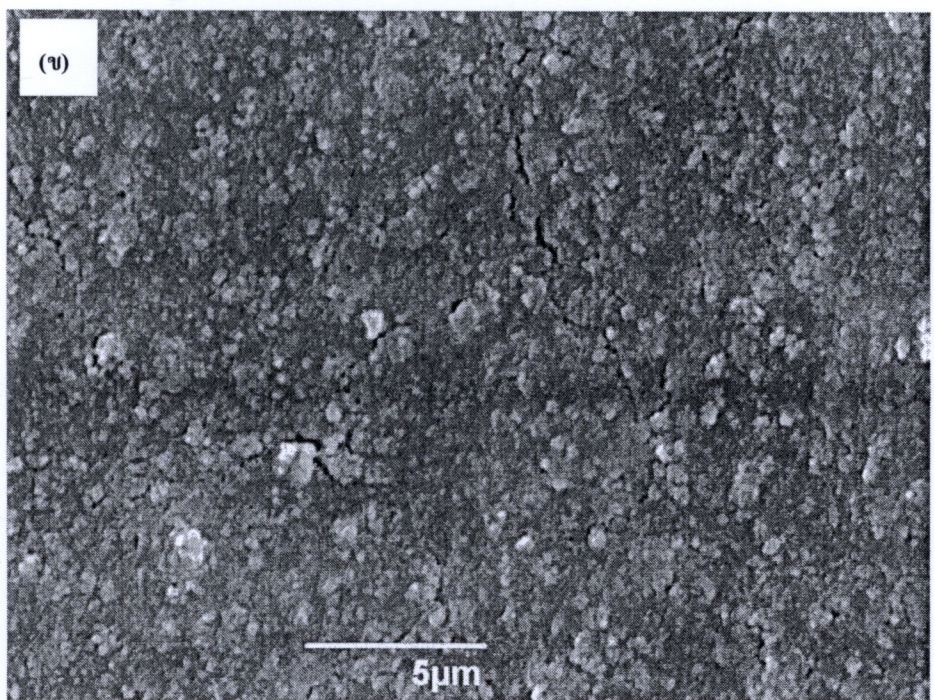
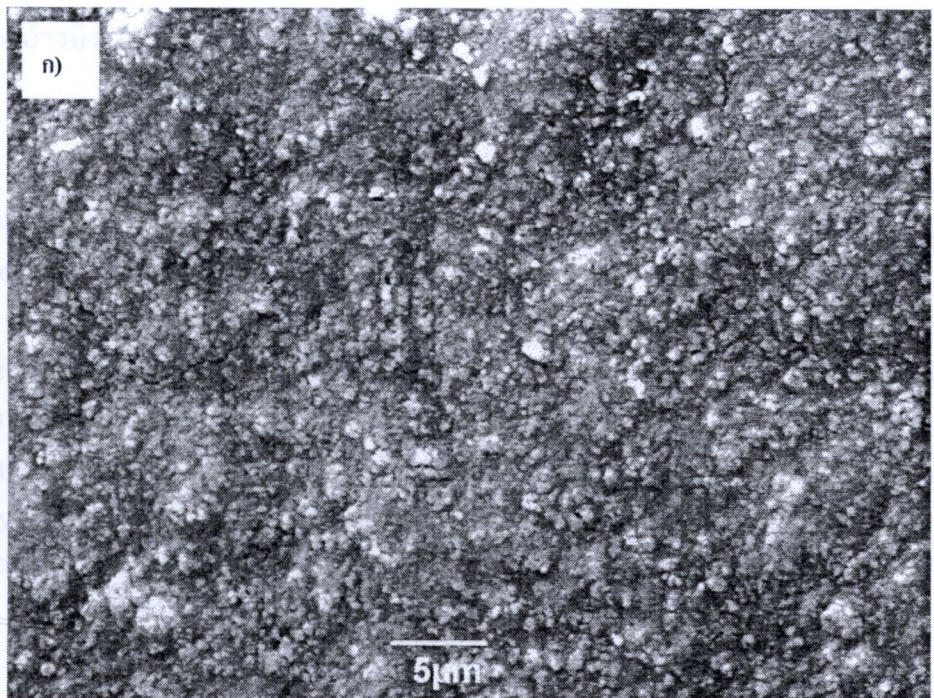
Preheat ($^{\circ}\text{C}$)	TiO ₂ thickness (layers)	Voc (V)	FF	J_{sc} (mA/cm^2)	Eff (%)
100	2	0.71	0.60	10.2	4.34
125	2	0.73	0.52	21.0	8.09



รูปที่ 3.10 คุณสมบัติกระแสและแรงดันของเซลล์แสงอาทิตย์ที่ความต่างของอุณหภูมิในการอบ

3.4.2 ภาพถ่ายพื้นผิวฟิล์มไทดีเทเนียมไดออกไซด์

เมื่อนำฟิล์มบางไทดีเทเนียมไดออกไซด์ที่ได้จากเทคนิคการพิมพ์สกรีน อบที่อุณหภูมิ 100°C และ 125°C เป็นเวลา 30 นาที เพาต์อที่อุณหภูมิ 450°C เป็นเวลา 30 นาที มาศึกษาสภาพพื้นผิวของฟิล์ม บางด้วยภาพถ่ายจาก SEM จากรูปที่ 3.11 เมื่อเปรียบเทียบทั้ง (ก) และ (ข) พบร้าพื้นผิวของฟิล์ม ไทดีเทเนียมไดออกไซด์แตกต่างกันอย่างเห็นได้ชัด การกระจายตัวของอนุภาคนาโนไทดีเทเนียมไดออกไซด์ เป็นก้อนๆ การกระจายตัวไม่สม่ำเสมอลดลงอย่างมากเมื่อ annealed ที่อุณหภูมิ 125°C และนี้อาจเป็น เหตุผลหนึ่งที่สามารถยืนยันการเพิ่มขึ้นของกระแสสัลดาจจะได้เป็นอย่างตี ถึงอย่างไรก็ตามฟิล์มบาง ไทดีเทเนียมไดออกไซด์ก็ยังคงมีร่องรอยของรอยแตกร้าวปรากฏให้เห็นอยู่



รูปที่ 3.11 ภาพถ่ายพื้นผิวฟิล์มบางไทเทเนียมไดออกไซด์ความหนา $10.25 \mu\text{m}$ จาก Solaronix ที่อัตราการขยาย 5,000 เท่า (ก) อบท่ออุณหภูมิ 100°C (ข) อบท่ออุณหภูมิ 125°C

เอกสารอ้างอิง

- [1] S. Ito, P. Chen, P. Comte, M. K. Nazeeruddin, P. Liska, P. Pechy and M. Gratzel
“Fabrication of Screen-Printing Pastes From TiO₂ Powders for Dye-Sensitised Solar Cells.” *Prog. Photovolt: Res. Appl.* **15** (2007), 603-612.
- [2] I. Shin, H. Seo, M-K. Son, J-K. Kim, K. Prabakar, H-J. Kim, “Analysis of TiO₂ thickness effect on characteristic of a dye-sensitized solar cell by using electrochemical impedance spectroscopy”, *Current Applied Physics* **10** (2010), S422–S424.
- [3] M. Okuya, K. Nakade, D. Osa, T. Nakano,G.R. A. Kumara, S. Kaneko, “Fabrication of dye-sensitized solar cells by spray pyrolysis deposition (SPD) technique”, *Journal of Photochemistry and Photobiology A: Chemistry* **164** (2004), 167–172